

М.Г. ГАСАНОВ, канд. техн. наук, доц., Азербайджанский
технический университет, Баку,

С.Г. ГАРДАШОВ, ст.преп., Азербайджанский технический
университет, Баку

ОПРЕДЕЛЕНИЕ ОПТИМАЛЬНЫХ РАЗМЕРОВ ЭЛЕМЕНТОВ ПЬЕЗОЭЛЕКТРИЧЕСКОГО ДВИГАТЕЛЯ ДЛЯ ОПТИЧЕСКИХ КОММУТАТОРОВ

Проанализированы возможности применения пьезоэлектрических приводов для коммутации оптических каналов и предложен метод частотного согласования размеров элементов микропьезоэлектрического двигателя для оптических коммутаторов. Ил.: 2. Библиогр.: 10 назв.

Ключевые слова: пьезоэлектрический привод; оптический коммутатор; частотное согласование размеров элементов; микропьезоэлектрический двигатель.

Постановка проблемы. За сравнительно короткую историю развития оптических сетей было разработано огромное число различных типов коммутаторов оптических сигналов, основанных на самых различных физических принципах [1].

Главной задачей оптических коммутаторов является обеспечение максимально высокого быстродействия, достаточного для разрабатываемых терабитных оптических линий связи [2], эффективность [3] и обеспечение минимально возможной удельной стоимости, а также снижение потребляемой мощности по сравнению с существующими электронными аналогами. Решение этих задач возможно с применением традиционных механических, электро-оптических, термо-оптических, жидкокристаллических, полупроводниковых, интегрально-оптических, микроэлектромеханических и других устройств.

В настоящее время наряду с другими микродвигателями благодаря простоте конструкции и дешевизне изготовления находят всё большее применение твёрдотельные микропьезоэлектрические двигатели (МПД). Принцип действия МПД основан на обратном пьезоэлектрическом эффекте (ОПЭ), в них энергия колебательных движений частиц пьезоэлемента (ПЭ), возбуждаемых переменным напряжением, подаваемым на его электроды от ультразвукового генератора (УЗГ) посредством ударного взаимодействия, передаётся контактирующей с ним подвижной части (ПЧ). Переменным напряжением от УЗГ в ПЭ возбуждаются только продольные колебания по его длине, а в результате его ударного взаимодействия с ПЧ в нём возбуждаются и поперечные

(изгибы) колебания [5].

Многоканальный оптический коммутатор. Одним из перспективных путей решения проблемы является применение пьезоэлектрических микроприводов [4], на основе которых возможно создание новых многоканальных, многофункциональных пьезоэлектрических коммутаторов оптических каналов.

Обобщенную схему многоканального коммутатора с применением микропьезоэлектрических приводов для переключения оптических каналов представим в следующем виде (рис. 1)

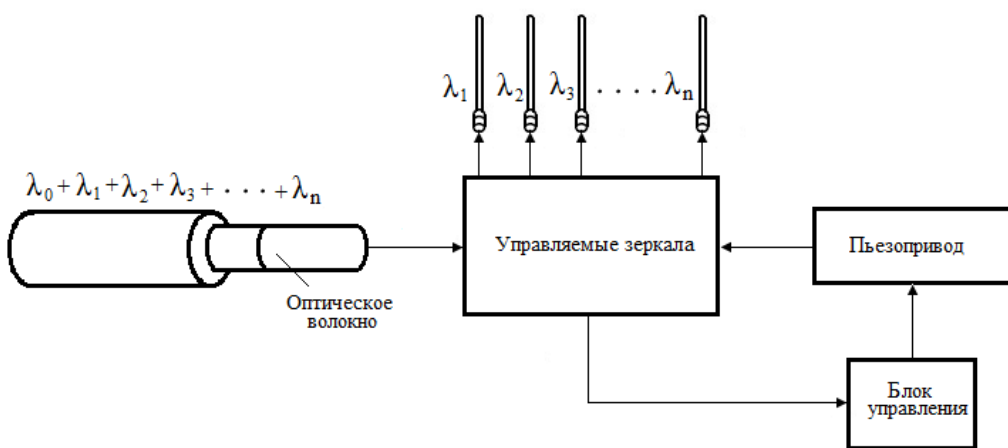


Рис.1. Обобщенная схема многоканального коммутатора с применением микропьезоэлектрических приводов для переключения оптических каналов

Как видно из рис. 1, мультиплексированный в единый оптический сигнал, поступающий из оптического волокна $\sum \lambda_n$, демультиплексируется своими составляющими λ_i посредством управляемых зеркал с помощью специального блока управления пьезоприводом вращательного движения. В данной схеме новизной является узел, созданный сочетанием управляемого зеркала оптического коммутатора с пьезоприводом линейного или вращательного движения.

Применение пьезоэлектрических многоканальных коммутаторов оптических каналов тесно связано с расчётом рабочих характеристик микропьезоэлектрических двигателей и оптимизацией параметров микропьезоэлектрических двигателей.

Частотное согласование размеров элементов пьезоэлектрического двигателя. Показатели качества МПД в основном зависят от характера взаимодействия ПЭ с ПЧ и от формы

траектории контактирующего с ПЧ конца ПЭ. Известно, что наилучшие показатели качества – сила тяги, быстродействие и к.п.д. МПД можно получить, когда эта траектория имеет форму эллипса и ПЭ в течение каждого периода колебаний входит в контакт с ПЧ один раз. Для этого частоты продольных и изгибных колебаний ПЭ должны быть равными, фазовый сдвиг между ними должен быть 90° , частота изгибных колебаний ПЧ должна равняться частоте колебаний ПЭ. Выполнение этих условий требует частотного согласования размеров ПЭ и ПЧ определённым образом. В работе [6] приведены формулы для согласования размеров только ПЭ, обеспечивающие приблизительное равенство частот его продольных и изгибных колебаний без учёта его взаимодействия с ПЧ, в результате чего при реальной работе (ПД) эффект согласования снижается.

Целью статьи является разработка для коммутаторов оптических систем нового метода передачи энергии, учитывающего взаимодействие ПЭ с ПЧ, применение которого позволяет более точно определить согласованные размеры не только ПЭ, но и ПЧ.

Основная часть. Принципиальная схема рассматриваемого МПД самой простой конструкции показана на рис. 2.

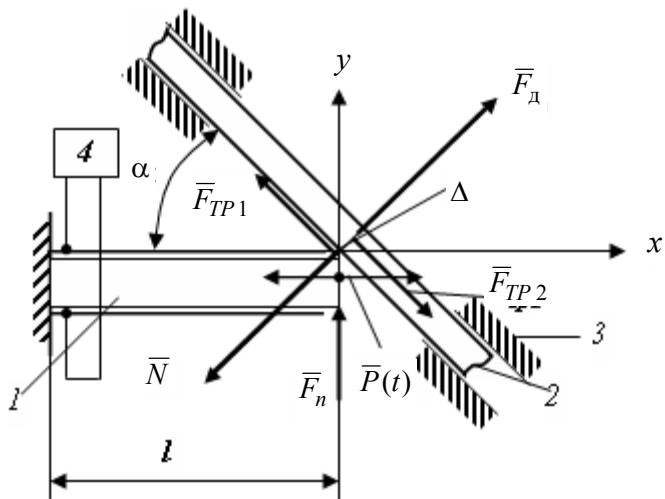


Рис. 2. Принципиальная схема МПД простой конфигурации

Здесь: 1 – пьезоэлемент, 2 – подвижная часть, 3 – направляющие опоры, 4 – ультразвуковой генератор.

Один конец ПЭ заделан, а другой, свободный конец, прижат силой \vec{F}_n под углом α к ПЧ, имеющей возможность двигатьсяся поступательно в направляющих опорах. ПЭ и ПЧ имеют прямоугольные

сечения шириной a , a_1 и толщиной b , b_1 соответственно, длина ПЭ l , расстояния между направляющими опорами l_1 .

Динамика взаимодействия ПЭ и ПЧ описывается системой дифференциальных уравнений в операторной форме [7]:

$$\begin{cases} u(t) = L_u(l, s)[P(t) - \Phi_x(u, w, su, sw)], \\ w(t) = -L_w(l, s)[P_n(t) - \Phi_y(u, w, su, sw)], \end{cases} \quad (1)$$

где u , w – относительные смещения контактирующих точек ПЭ и ПЧ соответственно по осям x и y , отсчитываемые от их начального неподвижного состояния; $P(t) = a_p \sin \omega t$ – сила, возникающая в результате ОПЭ, приложенная к свободному концу ПЭ, $\omega = 2\pi f$ круговая частота, $s = \partial/\partial t$; Φ_x , Φ_y – проекции нелинейной силы $\bar{\Phi}$ ударного взаимодействия между ПЭ и ПЧ на осях x и y :

$$\begin{aligned} \bar{\Phi} &= \bar{N} + \bar{F}_{Tp1}, \\ \bar{N} &= -\bar{F}_\partial, \quad \bar{F}_{Tp1} = -\bar{F}_{Tp2}, \end{aligned} \quad (2)$$

где \bar{F}_∂ – сила давления на ПЧ, $\bar{F}_{Tp1}, \bar{F}_{Tp2}$ – силы трения, действующие, соответственно, на ПЭ и ПЧ.

В соотношениях (1) $L_u(l, s)$, $L_w(l, s)$ – операторы суммарных динамических податливостей контактирующих элементов ПЭ и ПЧ, определяемые при единичной гармонической силе ($a_p = 1$), действующей на свободный конец ПЭ:

$$\begin{cases} L_u(l, s) = \frac{l}{ES\xi_u} \left(\operatorname{tg} \xi_u - j \frac{\chi}{4\pi} \frac{0.5 \sin 2\xi_u}{\cos^2 \xi_u} \right), \\ L_w(l, s) = \frac{EI}{l^3} (A + jB), \end{cases} \quad (3)$$

где

$$A = \frac{\operatorname{ch} \xi_w \sin \xi_w - \operatorname{sh} \xi_w \cos \xi_w}{\xi_w^3 (1 + \operatorname{ch} \xi_w \cos \xi_w)}, \quad (4)$$

$$B = \frac{\chi \left[\frac{\xi_w}{2} (\operatorname{ch} 2\xi_w - \cos 2\xi_w) + 2\xi_w \operatorname{sh} \xi_w \sin \xi_w + (1 + \operatorname{ch} \xi_w \cos \xi_w) D \right]}{\xi_w^3 (1 + \operatorname{ch} \xi_w \cos \xi_w)}, \quad (5)$$

где $D = (\text{ch} \xi_w \sin \xi_w - \text{sh} \xi_w \cos \xi_w)$, E – модуль упругости ПЭ; S – площа́дь поперечного сечения ПЭ; χ – коэффициент поглощения; $I = \frac{1}{12}ab^3$ – момент инерции поперечного сечения ПЭ; $\xi_u = \frac{\omega l}{\gamma}$;

$$\gamma = \sqrt{\frac{E}{\rho}}; \quad \xi_w = l \sqrt[4]{\frac{\rho \omega^2 S}{EI}}; \quad \rho \text{ – плотность ПЭ.}$$

Отыскивая решения системы уравнений (1) в виде :

$$u(t) = m_u + u^0(t) = m_u + a_u \sin(\omega t - \varphi_u), \quad (6)$$

$$w(t) = m_w + w^0(t) = m_w + a_w \sin(\omega t - \varphi_w), \quad (7)$$

где m_u , m_w и u^0 , w^0 – постоянные и переменные составляющие $u(t)$ и $w(t)$, производим гармоническую линеаризацию силы ударного взаимодействия [8]:

$$\Phi_X(u, su) \approx m_{Fu}(m_u, a_u) + k_u(m_u, a_u)u^0 + \beta_u(m_u, a_u)su^0, \quad (8)$$

$$\Phi_y(w, sw) \approx m_{Fw}(m_w, a_w) + k_w(m_w, a_w)w^0 + \beta_w(m_w, a_w)sw^0, \quad (9)$$

m_{Fu} , m_{Fw} , k_u , k_w , β_u , β_w – коэффициенты гармонической линеаризации:

$$m_{Fu} = \frac{a_u}{2\pi} c \sin \alpha [D_u(2 \arcsin D_u - \pi) + 2 \sin \alpha \sqrt{1 - D_u^2}], \quad (10)$$

$$k_u = \frac{1}{\pi} \{ [c \sin \alpha \cos \varphi_u (\sin \alpha - 2) - \mu \omega \cos^2 \alpha \sin \varphi_u] D_u \sqrt{1 - D_u^2} + \\ + 0.5(c \sin^2 \alpha \cos \varphi_u + \mu \omega \cos^2 \alpha \sin \varphi_u)(\pi - 2 \arcsin D_u) \}, \quad (11)$$

$$\beta_u = \frac{1}{\pi \omega} \{ [c \sin \alpha \sin \varphi_u (2 - \sin \alpha) - \mu \omega \cos^2 \alpha \cos \varphi_u] D_u \sqrt{1 - D_u^2} + \\ + 0.5(\mu \omega \cos^2 \alpha \cos \varphi_u - c \sin^2 \alpha \sin \varphi_u)(\pi - 2 \arcsin D_u) \}, \quad (12)$$

$$m_{Fw} = \frac{a_w}{2\pi} c \cos \alpha [D_w(2 \arcsin D_w - \pi) + 2 \sin \alpha \sqrt{1 - D_w^2}], \quad (13)$$

$$k_w = \frac{1}{\pi} \{ [c \cos \alpha \cos \varphi_w (\cos \alpha - 2) - \mu \omega \sin^2 \alpha \sin \varphi_w] D_w \sqrt{1 - D_w^2} + \\ + 0.5(c \cos^2 \alpha \cos \varphi_w + \mu \omega \sin^2 \alpha \sin \varphi_w)(\pi - 2 \arcsin D_w) \}, \quad (14)$$

$$\beta_w = \frac{1}{\pi\omega} \{ [c \cos \alpha \sin \varphi_w (2 - \cos \alpha) - \mu \omega \sin^2 \alpha \cos \varphi_w] D_w \sqrt{1 - D_w^2} + \\ + 0.5(\mu \omega \sin^2 \alpha \cos \varphi_w - c \cos^2 \alpha \sin \varphi_w)(\pi - 2 \arcsin D_w) \}, \quad (15)$$

где c – коэффициент жесткости ПЧ; μ – коэффициент трения между ПЭ и ПЧ;

$$D_u = \frac{\Delta - m_u \sin \alpha}{a_u}, \quad D_w = \frac{\Delta - m_w \cos \alpha}{a_w}, \quad (16)$$

Δ – зазор (натяг) между ПЭ и ПЧ.

Решая систему (1) с учетом (3) – (15) получена система трансцендентных уравнений, определяющих неизвестные параметры искомых решений $m_u, m_w, a_u, a_w, \varphi_u, \varphi_w$:

$$\begin{cases} a_u = \frac{a_p}{\sqrt{U_u^2 + V_u^2}}, \\ \varphi_u = \operatorname{arctg} \frac{V_u}{U_u}, \\ U_w = 0, \\ V_w = 0, \\ m_u = -\frac{l}{ES} m_{Fu}, \\ m_w = \frac{l^3}{EI} (F_n - m_{Fw}), \end{cases} \quad (17)$$

где

$$U_u = \frac{ES}{l} (\zeta_u \operatorname{ctg} \zeta_u + k_{ul}), \quad (18)$$

$$V_u = \frac{ES}{l} \left(\omega \beta_{ul} + \frac{\chi \zeta_u}{4\pi} \frac{\zeta_u + 0.5 \sin 2\zeta_u}{\sin^2 \zeta_u} \right), \quad (19)$$

$$U_w = \frac{EI}{l^3} \left(\frac{A}{A^2 + B^2} + k_{wl} \right), \quad (20)$$

$$V_w = \frac{EI}{l^3} \left(\frac{B}{A^2 + B^2} + \omega \beta_{wl} \right), \quad (21)$$

$$k_{ul} = \frac{l}{ES} k_u, \quad \beta_{ul} = \frac{l}{ES} \beta_u. \quad k_{wl} = \frac{l^3}{EI} k_w, \quad \beta_{wl} = \frac{l^3}{EI} \beta_w, \quad (22)$$

где U_u , U_w и V_u , V_w – вещественные и мнимые части соответственно суммарных динамических жесткостей W_U , W_W контактирующих элементов ПЭ и ПЧ:

$$\begin{cases} W_U = L_U^{-1}(l, s) + k_u + \beta_u s, \\ W_W = L_W^{-1}(l, s) + k_w + \beta_w s. \end{cases} \quad (23)$$

Для согласования размеров ПЧ выведены следующие формулы:

$$c = 3.2 E_1 a_1 \left(\frac{b_1}{l_1} \right)^3, \quad (24)$$

$$f = 0.68 \frac{b_1}{l_1^2} \sqrt{\frac{E_1}{\rho_1}}, \quad (25)$$

где c, f – жесткость и собственная частота изгибных колебаний ПЧ; E_1, ρ_1 – модуль упругости и плотность материала ПЧ.

Предлагается следующий порядок частотного согласования размеров ПЭ и ПЧ.

- 1) Выбирают материалы для ПЭ и ПЧ;
- 2) Изменяя в формулах (24), (25) размеры a_1 , b_1 , и расстояние l_1 между опорами, определяют интервалы допустимых из конструктивных соображений значений жесткости ($c_{min} \div c_{max}$) и собственной частоты изгибных колебаний ($f_{min} \div f_{max}$) ПЧ;
- 3) Для конкретного значения c , взятого из указанного в п.2 интервала, согласуют размеры ПЭ. Т.е. изменяя размеры a , b , l ПЭ, добиваются равенства собственных частот продольных и изгибных колебаний по длине ПЭ. С этой целью используют уравнения, определяющие совокупность этих собственных частот:

$$\begin{cases} U_u = U'_u(f, l) + U''_u(f, a, b, l, D_u, c) = 0, \\ U_w = U'_w(f, l) + U''_w(f, a, b, l, D_w, c) = 0. \end{cases} \quad (26)$$

Рекомендуется решать систему уравнений (26) графически, построением с помощью компьютера в одной системе координат графиков функций $U'_u(f)$ и $-U''_u(f)$, а в другой – графиков

$U'_w(f)$ и $-U''_w(f)$, на которых будут наглядно видны все моды собственных частот.

С учетом условия $\varphi_u - \varphi_w = 90^\circ$, $\varphi_u = 90^\circ$ графики $U''_u(f)$ и $U''_w(f)$ представляют собой прямые, угловые коэффициенты которых при заданных c, μ, α зависят соответственно только от D_u и D_w . Так как $|D_u| \leq 1$ и $|D_w| \leq 1$, эти уравнения решаются только для значений: $D_u = -1$, $D_u = 1$ и $D_w = -1$, $D_w = 1$. Решение для других значений D_u и D_w будут между полученными выше решениями. Довольно легко достигается равенство первой моды собственных частот продольных колебаний и второй моды собственных частот изгибных колебаний. Фиксируем D_u и D_w , при которых $f = f_u = f_w$. Полученная частота должна входить в допустимый интервал (п. 2). В противном случае, изменяя c, a, b, l , необходимо повторить расчет по п.2, п.3.

4) Подставив частоту $f = f_u = f_w$ в выражения $a_u = |L_u(l, s)|$ и $a_w = |L_w(l, s)|$ определяют начальные приближенные значения a_u, a_w .

5) Решают систему из четырех уравнений, полученную из (17) с учетом $f = f_u = f_w$, начальные значения a_u, a_w , $\varphi_u = 90^\circ$, $\varphi_w = 0$, $U_u = 0$, $U_w = 0$ и $a_p = 1$ относительно a_u, m_u, a_w, m_w .

6) Используя результаты п. 5 по соотношениям (16) уточняют D_u и D_w , согласно п. 3 скорректируется частота $f = f_u = f_w$.

7) Согласуются размеры ПЧ. Подставив $f = f_u = f_w$ из п. 6. в (25), определяют отношение $\frac{b_1}{l_1^2}$. Задаваясь значением $b_1 \leq a_1$, определяют l_1 .

Наконец из формулы (24) определяют a_1 . С точки зрения наилучшей передачи энергии от ПЭ к ПЧ, желательно выполнение условия:

$$a \leq a_1.$$

Выводы. В соответствии с изложенным можно заключить что, согласованные по предложенному методу размеры пьезоэлемента и подвижной части обеспечивают наилучшую передачу энергии от ПЭ КПЧ и наилучшую передачу энергии от ПЭ к ПЧ, позволяющих их эффективно применять в коммутаторах оптических каналов.

Список литературы: 1. Гайворовская Г.С. Особенности применения оптических коммутаторов в современных информационных сетях / Г.С. Гайворовская, А.В. Рябцов // Applicable Information Models. – Sofia: ITHEA, 2011. – № 22. – Р. 169-181.

- 2.** Гайворовская Г.С. Особенности коммутации оптических сигналов при использовании различных режимов переноса информации / Г.С. Гайворовская, Б.А. Рыболов. – 2015. – С. 1-7 <http://journals.uran.ua/reftech/article/viewFile/51945/52999>
- 3.** Гасанов М.Г. Эффективность пьезоэлектрического дефлектора светового луча в технике связи / М.Г. Гасанов // Известия АзТУ.– Баку – 2010 – № 2 (66). – С. 44-46.
- 4.** Hasanov M.H. Application of piezoelectric light beam deflector in optical commutators of fiber-optical communication networks / M.H. Hasanov, V.A.Maharramov // The international science-technical jornal HEARD of the Azerbaijan Engineering Academy. – 2017. – Vol. 9. – № 2. – Р. 116-121.
- 5.** Гасанов М.Г. Пьезоэлектрический реверсивный привод / М.Г. Гасанов, В.С. Вишневский // Авт. Свид. СССР № 1827708. – 1995.
- 6.** Джагупов Р.Г. Пьезокерамические элементы в приборостроении и автоматике / Р.Г. Джагупов, А.А. Ерофеев // Ленинград: Машиностроение, Ленинградское отделение. – 1986. – 165 с.
- 7.** Гардашов С.Г. Постановка и выбор метода решения задачи исследования динамики виброударного взаимодействия в пьезоэлектрическом двигателе / С.Г. Гардашов, Т.Б. Гурбанов, Х.Г. Гардашова, Э.Т. Газарханов, Т.И. Кяримли // Милли Авиасийя Академийасы, Елми мажмұялар. – Баку. – 2003. – Том 5. – № 4. – С. 36-40.
- 8.** Гардашов С.Г. Гармоническая линеаризация силы ударного взаимодействия в ПД / С.Г. Гардашов, Т.Б. Гурбанов, Х.Г. Гардашова // АзТУ, Елми ясляр – Фундаментал елмляр. – Баку. – 2003, – № 3. – Том II (7). – С. 20-24.
- 9.** Hasanov M.H. Multifunctional multichannel piezoelectric switch for optical networks. Modern means of communication // Materials of the XXII International Scientific and Technical Conference. 19-20 October 2017. – Minsk: Belarus. – P. 16-17.
- 10.** Hasanov M.H. Physical and mathematical model of nonlinear piezoelectric transducers for linear displacements. Actual problems of science and technology // X International scientific-practical conference of young scientists. Collection of conference materials. – Publishing house "Neftegazovoye delo", 25-26 November. – Ufa: Russian, 2017. – Vol. 1. – P. 292-293.

References:

- 1.** Gaivorovskaya, G.S and Ryabtsov, A.B. (2011), "Features of the use of optical switches in modern information networks", *Journal of Applicable Information Models*, Sofia, No. 22, pp. 169-181.
- 2.** Gaivorovskaya, G.S. and Rybalov, B.A. (2015). "Features of switching optical signals when using different modes of information transfer", available at: <http://journals.uran.ua/reftech/article/viewFile/51945/52999>, (accessed 2 January 2011).
- 3.** Hasanov, M.H. (2010), "Efficiency of a piezoelectric deflector for a light beam in communication technology", *Journal Proceedings of AzTU*, No. 2 (66), Baku, pp. 44-46.
- 4.** Hasanov, M.H. and Maharramov, V.A. (2017), "Application of piezoelectric light beam deflector in optical commutators of fiber-optical communication networks", *The international science - technical jornal HEARD of the Azerbaijan Engineering Academy*, Vol. 9, No. 2, pp. 116-121.
- 5.** Hasanov, M.H. and Vishnevsky, V.S. (1995). Piezoelectric reversible drive, Patent, USSR, No. 1827708.
- 6.** Jagupov, R.G. and Erofeev, A.A. (1986), "Piezoceramic elements in instrumentation and automation", "Mechanical Engineering", Leningrad Branch, Leningrad, 165 p.
- 7.** Gardashov, S.G., Gurbanov, T.B., Gardashova, Kh.G., Gazarkhanov, E.T. and Kyarimli, T.I. (2003). "Statement and choice of the method for solving the problem of studying the dynamics of vibroimpact interaction in a piezoelectric engine", *Journal National Aviation Academy*, Scientific-notes , Vol. 5, No. 4, Baku, pp. 36-40.
- 8.** Gardashov, S.G., Gurbanov, T.B. and Gardashova, H.G. (2003), "Harmonic Linearization of the Shock Interaction Force in PD", *Journal Proceedings of AzTU*, Baku, Vol. II, No. 3, pp. 20-24.

9. Hasanov, M.H. (2017), "Multifunctional multichannel piezoelectric switch for optical networks". *Modern means of communication, Materials of the XXII International Scientific and Technical Conference, 19-20 October 2017*, Minsk, Belarus, pp. 16-17.
10. Hasanov, M.H. (2017), Physical and mathematical model of nonlinear piezoelectric transducers for linear displacements, *Actual problems of science and technology - 2017. X International scientific-practical conference of young scientists. Collection of conference materials. Publishing house "Neftegazovoye delo"*, Ufa, Russian, Vol. 1, pp. 292-293.

*Стат'ю представил д-р техн. наук, проф. НТУ "ХПІ"
Заковоротный А.Ю.*

Поступила (received) 15.11.2017

Mehman Huseyn Hasanov, Cand. Tech. Sci., Associate Professor
The Azerbaijan Technical University, Baku.
Ave. G. Javida, 25, Az-1073, Azerbaijan
Tel: + 994-(50)-211-22-83, email: mhasanovnew@gmail.com

Sadraddin G. Gardashov, senior teacher,
The Azerbaijan Technical University, Baku,
Ave. G. Dzhavida, 25, Az. 1073, Azerbaijan,
email: sqardashov52@mail.ru

УДК 621. 384.2

Визначення оптимальних розмірів елементів п'єзоелектрического двигуна для оптичних комутаторів / Мехман Гусейн оглы Гасанов, Садраддин Гудбиддин оглы Гардашов // Вісник НТУ "ХПІ". Серія: Інформатика та моделювання. – Харків: НТУ "ХПІ". – 2017. – № 50 (1271). – С. 25 – 35.

Проаналізовано можливості застосування п'єзоелектрических приводів для комутації оптичних каналів і запропоновано метод частотного узгодження розмірів елементів мікроп'єзоелектрического двигуна для оптичних комутаторів. Іл.: 2. Бібліогр.: 10 назв.

Ключові слова: пьезоелектрический привід; оптичний комутатор; частотне узгодження розмірів елементів; мікропьезоелектрический двигун.

УДК 621. 384.2

Определение оптимальных размеров элементов пьезоэлектрического двигателя для оптических коммутаторов / Мехман Гусейн оглы Гасанов, Садраддин Гудбиддин оглы Гардашов // Вестник НТУ "ХПИ". Серия: Информатика и моделирование. – Харьков: НТУ "ХПИ". – 2017. – № 50 (1271). – С. 25 – 35.

Проанализированы возможности применения пьезоэлектрических приводов для коммутации оптических каналов и предложен метод частотного согласования размеров элементов микропьезоэлектрического двигателя для оптических коммутаторов. Ил.: 2. Библиогр.: 10 назв.

Ключевые слова: пьезоэлектрический привод; оптический коммутатор; частотное согласование размеров элементов; микропьезоэлектрический двигатель.

UDC 621. 384.2

Determination of the optimum sizes of the piezoelectric motor elements for optical switches / Hasanov M.H., Sadraddin G.G. // Herald of the National Technical University "KhPI". Subject issue: Information Science and Modelling. – Kharkov: NTU "KhPI". – 2017. – №. 50 (1271). – P. 25 – 35.

The possibilities of using piezoelectric drives for switching optical channels are analyzed and a technique for frequency matching of the sizes of elements of a micro-piezoelectric engine for optical commutators is proposed. Figs.: 2. Refs.: 10 titles.

Keywords: piezoelectric drive; optical switches; frequency matching of the sizes of elements; micro piezoelectric engine.